

بررسی اختلاط دو سیال متفاوت در یک میکروکanal با پره منحنی شکل به روش بولتزمن

رضا کاووه^۱، محمد سفید^{۱*}، محسن مظفری شمسی^۲

^۱ دانشکده مکانیک، دانشگاه یزد، یزد، ایران

^۲ دانشکده مهندسی، دانشگاه میبد، میبد، ایران

خلاصه: در مطالعه حاضر اختلاط دو سیال با لزجت‌های متفاوت در یک میکروکanal مجهز به پره نوسانی منحنی شکل به روش شبکه بولتزمن با زمان آسایش چندگانه شبیه‌سازی شده و اثرات شکل هندسی، سرعت و دامنه نوسان پره و نسبت لگاریتمی لزجت بر بازده اختلاط بررسی شده است. در مطالعات صورت گرفته در زمینه اختلاط، پره در میکروکanal به شکل استوانه و یا مستطیل و در اکثر مطالعات دو سیال یکسان در نظر گرفته شده است. در این تحقیق برای اولین بار از پره منحنی شکل جهت اختلاط دو سیال با لزجت متفاوت استفاده شده است. شبیه‌سازی در عدد رینولدز ۸۰، عدد اشپیت ۱۰ انجام شده و برای پره منحنی از شکل ایرفویل (۱) (GA(W)-۰۴۱۷) NASA/LANGLEY LS(۱) استفاده شده است. نتایج نشان داد که بازده اختلاط دو سیال با لزجت یکسان و متفاوت، در میکروکanal مجهز به پره منحنی شکل بالاتر از میکروکanal مجهز به پره مستطیل شکل است. همچنین نتایج نشان داد که در دامنه‌های نوسان بررسی شده با افزایش عدد استرöhال، بازده نیز افزایش می‌یابد، بازده اختلاط در دامنه نوسان ۰/۵ در تمام اعداد استرöhال بررسی شده یک مقدار بهینه را دارد و با افزایش نسبت لگاریتمی لزجت در اعداد استرöhال بررسی شده، بازده کاهش می‌یابد.

کلمات کلیدی:

اختلاط

میکروکanal

لزجت متفاوت

روش شبکه بولتزمن با زمان آسایش

چندگانه

پره منحنی شکل نوسانی

۱- مقدمه

در کوچکترین مقیاس‌های حرکت سیال و حرکت مولکولی صورت می‌گیرد. اختلاط مسو اختلاطی بین اختلاط ماکرو و اختلاط میکرو است. یک میکرو مخلوط کننده با دقت بالا و با کمک تکنولوژی میکرو و یا مهندسی ابزار دقیق ساخته می‌شود. اندازه میکروکanal در رنج‌های کمتر از میلی‌متر است. معمولاً عرض میکروکanal‌ها ۱۰۰ تا ۵۰۰ میکرومتر و طول آن‌ها چند میلی‌متر یا بیشتر است [۱]. میکرو مخلوط کننده‌ها معمولاً با توجه به هندسه کanal به گونه‌ای طراحی می‌شوند که طول اختلاط کاهش و مساحت سطح تماس افزایش پیدا کنند. با توجه به این دو اصل اساسی، برای ایجاد اختلاط بهتر در ابعاد میکرو، میکرو مخلوط کننده‌ها به دودسته فعال^۱ و غیرفعال^۲ دسته‌بندی می‌شوند [۲]. میکرو مخلوط کننده‌های غیرفعال بدون هیچ عامل خارجی و فقط از طریق اثر هندسه میکروکanal بر جریان کار می‌کنند (مانند میکرو مخلوط کننده‌های T شکل و Y شکل).

اختلاط سیالات از فرایندهای مهم در صنایع شیمیایی است. در سیستم‌های اختلاط، سیال با هرکدام از فازهای دیگر یعنی مایع، جامد و گاز می‌تواند مخلوط شود. اختلاط معمولاً به منظور واکنش شیمیایی، انتقال حرارت، انتقال جرم و یا اختلاط چند فاز باهم (سوسپانسیون و تعلیق) در صنعت به کار می‌رود. عمل اختلاط می‌تواند با هم زدن در مایع همراه باشد که توسط نیروی خارجی و یا ابزاری مانند پره انجام می‌شود. پره‌ها با وارد کردن نیروی مماسی باعث ایجاد گردابه در سیال می‌شوند که در نهایت سیال را به سمت ترکیب یکنواخت پیش خواهند برد. معمولاً اختلاط در سه مقیاس صورت می‌گیرد: ۱- اختلاط ماکرو، ۲- اختلاط مسو، ۳- اختلاط میکرو. اختلاط ماکرو در بزرگترین اندازه‌های حرکت سیال و اختلاط میکرو

1 Macromixing

2 Mesomixing

3 Micromixing

* نویسنده عهده‌دار مکاتبات: mhsefid@yazd.ac.ir

4 Active

5 Passive

حقوق مؤلفین به نویسنده‌گان و حقوق ناشر به انتشارات دانشگاه امیرکبیر داده شده است. این مقاله تحت لیسانس آفرینندگی مردمی (Creative Commons License) در دسترس شما قرار گرفته است. برای جزئیات این لیسانس، از آدرس <https://www.creativecommons.org/licenses/by-nc/4.0/legalcode> دیدن فرمائید.



مخلوط کننده مارپیچی سه بعدی در رینولز ۶ تا ۷۰ پرداختند و نشان دادند با افزایش عدد رینولز قابلیت اختلاط در کanal افزایش پیدا می کند. آن^۷ و همکاران [۸]، علاوه بر معرفی یک ضریب اختلاط جدید مناسب برای جریان های واپسیه به زمان و تکرار شونده، جریان در یک میکرو مخلوط کننده مجهز به همزن متحرک را مورد بررسی قرار دادند. همچنین ایشان به مقایسه همزن دور و همزن نوسان کننده نیز پرداختند و نتیجه گرفتند که عملکرد پره نوسان کننده مناسب تر است. جین^۸ و همکاران [۹]، با مدل سازی اختلاط دو سیال در یک میکرو مخلوط کننده، عملکرد اختلاط را با تغییر عدد رینولز و نسبت جرمی گلیسیرین در آب خالص بررسی کردند و نشان دادند که با افزایش نسبت جرمی گلیسیرین در آب، میزان اختلاط کاهش پیدا می کند. کیم^۹ و همکاران [۱۰]، یک میکرو مخلوط کننده ساده، مجهز به سیلندر استوانه ای، پره و سیلندر و پره همزمان را به کمک روش شبکه بولتزمن مدل سازی کردند و عملکرد میکرو مخلوط کننده را در حالات مختلف از لحاظ بازده اختلاط مورد بررسی قرار دادند. نتایج نشان داد که میکرو مخلوط کننده با پره و سیلندر دارای اختلاط بهتری است. سیلیک^{۱۱} و همکاران [۱۱]، به بررسی جریان در اطراف یک سیلندر نوسانی با نسبت سد شوندگی^{۱۲} ۱/۳ پرداختند و نشان دادند فرکانس ریزش گردابه طبیعی از استوانه ثابت محصور شده دو برابر استوانه محصور نشده است. آنها همچنین در مطالعه ای دیگر [۱۲] اختلاط دو سیال یکسان را در یک میکرو کanal مجهز به یک سیلندر نوسان کننده با سه مدل هندسه ورودی مختلف مورد بررسی قرار دادند. آنها نشان دادند بهترین اختلاط در نسبت فرکانسی ۱/۲۵ و در حالت سه ورودی رخ می دهد. ایم^{۱۳} و همکاران [۱۳] با روش شبکه بولتزمن به تحلیل مکانیزم اختلاط در یک میکرو مخلوط کننده پرداختند و یک طراحی بهینه برای افزایش بازده اختلاط ارائه نمودند. پارک^{۱۴} و همکاران [۱۴]، با استفاده از شبیه سازی به روش شبکه بولتزمن و با استفاده از تحلیل آزمایش ها با کمک روش طراحی آزمایش ها و روش تاگوچی^{۱۴} توانستند مدلی ارائه کنند که به میزان

میکرو مخلوط کننده های فعال، مخلوط کننده هایی هستند که اختلاط توسط عامل خارجی تحریک می شود. اختلاط ناشی از پره های میکرو از این دسته می باشد [۳]. به علت حاکمیت اثرات لزجت، در ابعاد میکرو ایجاد جریان مغذش امکان پذیر نیست و عدد رینولز در این ابعاد معمولاً کمتر از ۱۰۰ است [۴]. از میکرو مخلوط کننده ها به طور گسترده در صنایع داروسازی، بیومکانیک، آنالیز راکتور های میکرو و واکنش های آنزیمی استفاده می شود. فرایند اختلاط، فرایند اصلی در خیلی از ابزارهای میکرو برای تشخیص های پزشکی، ترتیب دهی ژنتیک^۱، تولیدات شیمیابی، کشف داروها و ترکیب پروتئینی^۲ است. به طور کلی می توان تأثیر میکرو مخلوط کننده ها در سیستم های میکرو را مانند تأثیر ترانزیستورها در مدارهای مجتمع دانست. همچنین میکرو مخلوط کننده هایی که به عنوان راکتور های میکرو استفاده می شوند به طور بالقوه تأثیر به سازی در صنایع شیمیابی دارند. به علت مقیاس کوچک این مخلوط کننده ها، سیستم اجازه کنترل بر روی پارامتر های فرآیند تولید در صنایع شیمیابی و داروسازی را فراهم می کند. به طور کلی میکرو مخلوط کننده ها از لحاظ فنی شرایط واکنشی را فراهم می سازند که در ابعاد مacro غیر ممکن به نظر می رسد [۱].

از جمله کارهایی که در میکرو مخلوط کننده ها انجام گرفته می توان به کار کخ^۳ و همکاران [۵] اشاره کرد. آنها در یک کار تجربی با استفاده از تصویرسازی جریان و با استفاده از جوهرهای قرمز و سبز حل شونده در اتانول به آزمایش میکرو مخلوط کننده افقی پرداختند. در این آزمایش از فنول فتالین استفاده شد و رنگ نهایی اختلاط فقط به مقدار PH بستگی داشت. لیو^۴ و همکاران [۶]، به بررسی عددی اختلاط دو سیال (آب خالص و محلول آب گلیسیرین) در مخلوط کننده های سه بعدی مارپیچی^۵ و شطرنجی جناقی^۶ در اعداد رینولز ۱ و ۱۰ پرداختند و نشان دادند در رینولز ۱ عملکرد اختلاط در هر دو مخلوط کننده رابطه عکس با میزان گلیسیرین دارد. آنها در مطالعه ای دیگر [۷]، با استفاده از محلول فنول فتالین و محلول سدیم هیدرو اکسید به آزمایش تجربی میکرو اخلاق از اختلاط در

1 Genetic sequencing

2 Proteomic

3 Koch

4 Liu

5 Threedimensional serpentine mixer

6 Staggered herringbone mixer

7 An

8 Jin

9 Kim

10 Celik

11 Blockage ratio

12 Im

13 Park

14 Taguchi method

و دامنه نوسان حرکت یک سیلندر مربعی به صورت عمود بر جریان [۲۰] و به صورت نوسانی چرخان [۲۱] بر بهبود اختلاط پرداخت. او نشان داد، سیلندر نوسانی عمود بر جریان و نوسانی چرخان در حالت بهینه می‌تواند بازده اختلاط را به ترتیب، ۱۰ و ۱۵ برابر نسبت به سیلندر ساکن افزایش دهد. شمس‌الدینی [۲۲]، اثر حرارت را بر اختلاط در یک میکرو کانال مجهز به پره چرخان بررسی کرده و نشان داده است که با افزایش دمای دیوارهای کانال ضریب پخش جرمی افزایش و لزجت کاهش می‌یابد؛ بنابراین عدد اشمتیت با افزایش دمای دیوارهای به طور قابل ملاحظه‌ای کاهش می‌یابد.

اختلاط دو سیال زمانی مفهوم پیدا می‌کند که خواص دو سیال نسبت به هم متفاوت باشند در صورتی که در بیشتر مطالعات صورت گرفته خواص دو سیال یکسان در نظر گرفته شده است. همچنین در مطالعاتی که تاکنون بر روی میکرو کانال‌های فعال جهت حل مسائل اختلاط انجام شده و از حرکت یک جسم جامد جهت اختلاط دو سیال بهره برده شده است، جسم جامد معمولاً به صورت یک استوانه متحرک و یا پرهای مستطیل شکل در نظر گرفته شده است. از آنجاکه نتایج مطالعات گذشته نشان از تأثیر شکل هندسی پره بر اختلاط دارد از این‌رو در پژوهش حاضر برای اولین بار از یک پره منحنی شکل نوسان کننده در یک میکرو کانال دو بعدی جهت اختلاط دو سیال مخلوط شونده با لزجت متفاوت استفاده شده است. مسئله به روش شبکه بولتزمن با زمان آسایش چندگانه شبیه‌سازی شده و تأثیر تغییر شکل هندسی پره بر اختلاط دو سیال یکسان و متفاوت و همچنین عواملی مانند سرعت و دامنه نوسان پره مورد بررسی قرار گرفته است.

۲- فیزیک مسئله

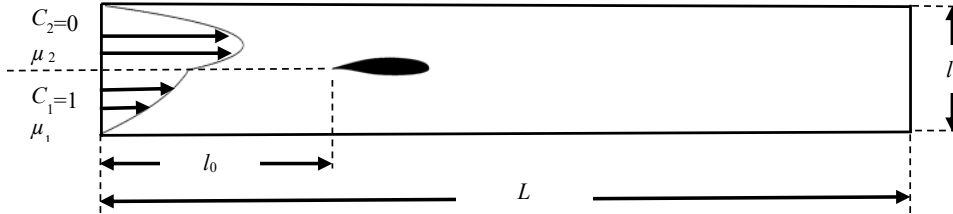
شمایتیکی از میکرو کانال موردنظر در شکل ۱ نشان داده شده است. مطابق با شکل ۱ طول کانال L و عرض آن برابر l است. پره منحنی به شکل ایرفویل (GA(W)-۱) در NASA/LANGLEY LS(۱)-۰۴۱۷ در فاصله l از ابتدای کانال و در بعد عرضی در میانه کانال قرار دارد. پره با زاویه α و سرعت زاویه‌ای ω نوسان می‌کند. سیال اول با غلظت C_1 و لزجت μ_1 و سیال دوم با غلظت C_2 و لزجت μ_2 وارد کانال می‌شوند. مسئله به صورت ایزوترمال بررسی شده و عدد رینولدز دو سیال یکسان و نسبت چگالی آن‌ها یک در نظر گرفته شده است. با در نظر گرفتن وتر ایرفویل به عنوان طول مشخصه و سرعت متوسط

۸۴/۵۹٪ کارایی میکرو مخلوط کننده پره دار را نسبت به مدل معمولی افزایش می‌داد. ریو^۱ و همکاران [۱۴]، یک میکرو مخلوط کننده مجهر به پره را به کمک روش شبکه بولتزمن شبیه‌سازی کردند و عملکرد میکرو مخلوط کننده را در حالات نوسانی و چرخشی ازلحاظ بازده مخلوط مورد بررسی قراردادند. شمس‌الدینی و همکاران [۱۵]، یک میکرو مخلوط کننده مجهر به پره را به کمک روش هیدرودینامیک ذرات هموار تراکم ناپذیر^۲ شبیه‌سازی کردند و عملکرد مخلوط کننده را ازلحاظ بازده اختلاط، در چهار حالت پره ضربدری نوسان کننده، پره ضربدری دوران کننده، پره مستقیم نوسان کننده و پره مستقیم دوران کننده مورد بررسی قراردادند و نشان دادند که عملکرد پره ضربدری بهتر از پره مستقیم است. شمس‌الدینی در مطالعه‌ای دیگر [۱۶] اختلاط در یک مخلوط کننده مجهر به دو پره را به کمک روش هیدرودینامیک ذرات هموار تراکم ناپذیر بررسی کردند. آن‌ها در این مطالعه عدد اشمتیت را ۱۰۰۰ در نظر گرفتند و نشان دادند که اختلاط در میکرو مخلوط کننده مجهر به دو پره بهتر از یک پره است. قنبری و همکاران [۱۷]، به بررسی عددی اختلاط دو سیال با چگالی و لزجت متفاوت در یک میکرو مخلوط کننده مجهر به یک همزن پرهای نوسان کننده در فرکانس‌های مختلف در اعداد رینولدز ۵۰ و اشمتیت ۱۰ توسط کد تجاری CFX پرداختند. آن‌ها نشان دادند بیشینه تغییرات شاخص اختلاط در حالت چگالی و لزجت متفاوت به ترتیب ۱/۰۵۴ و ۱/۱۵ درصد است در صورتی که این مقدار برای دو سیال یکسان به ۹/۴۷۷ درصد می‌رسد. خزیمه نژاد و همکاران [۱۸]، اثرات نسبت منظری یک همزن مستطیلی بر بازده اختلاط را با در نظر گرفتن همزمان اثرات فرکانس و دامنه نوسان درون یک میکرو کانال به روش شبکه بولتزمن بررسی نموده‌اند. آن‌ها نشان دادند در مقادیر پایین و میانی فرکانس، اختلاط در مقادیر پایین نسبت منظری دارای عملکرد بهتری نسبت به مقادیر بالاتر آن بوده است. همچنین آن‌ها در ادامه تحقیق خود، یک میکرو مخلوط کننده مجهر به پره نوسانی چرخان را در عدد پکلت ۱۰۰۰۰ موردمطالعه قراردادند [۱۹]. در این تحقیق پره مستطیلی با نسبت‌های منظری مختلف در نظر گرفته شده است. نتایج نشان می‌دهد که درصد اختلاط در نسبت منظری بالا با افزایش دامنه نوسان، افزایش می‌یابد. اورتگا کازانووا^۳، به بررسی تأثیر فرکانس

1 Ryu

2 ISPH

3 Ortega-Casanova



شکل ۱: طرح شماتیک میکرو کانال
Fig. 1. Schematic view of microchannel

مخلوط شدنی با لزجت متفاوت داده می‌شود که از رابطه (۲) به دست می‌آید [۱۷].

$$u(y)/u_0 = \begin{cases} 1 + A \frac{y}{H/2} - B \left(\frac{y}{H/2} \right)^2 & y \geq 0 \\ 1 + A' \frac{y}{H/2} - B' \left(\frac{y}{H/2} \right)^2 & y \leq 0 \end{cases}$$

$$A = \frac{e^R - 1}{2}, B = \frac{e^R + 1}{2}$$

$$A' = \frac{e^R - 1}{2e^R}, B' = \frac{e^R + 1}{2e^R} \quad (2)$$

u_0 سرعت سطح مشترک دو سیال است و از رابطه (۳) محاسبه می‌شود.

$$u_0 = \frac{U}{1 + \left(\frac{A - A'}{4} \right) - \left(\frac{B + B'}{6} \right)} \quad (3)$$

که در این رابطه U سرعت متوسط است. برای بررسی رفتار جریان اختلاط و میزان انتقال جرم، به شاخصی مناسب برای سنجش میزان اختلاط صورت گرفته نیاز است. در مطالعه حاضر از متوسط زمانی انحراف استاندارد برای میدان غلظت در یک مقطع به صورت رابطه (۴) استفاده شده است [۱].

$$D_I = \frac{1}{T} \int_{t_0}^{t_0+T} \sqrt{\frac{1}{N} \sum_{j=1}^N \left(\frac{C_j - C_{mean}}{C_{mean}} \right)^2} dt \quad (4)$$

در این رابطه N تعداد نقاط در یک مقطع عرضی، C_j غلظت نقطه j غلظت متوسط اولیه و T یک دوره تناوب نوسان پره است. برای محاسبه بازده اختلاط نیز از رابطه (۵) استفاده می‌شود [۱].

$$\varepsilon = (1 - D_I) * 100 \quad (5)$$

جدول ۱ - اعداد بدون بعد حاکم بر مسئله و مشخصات میکرو کانال

Table 1. Governing non-dimensional numbers and microchannel characteristics

نام	عبارت
وتر ایرفویل	D
طول کانال	$L = 15D$
عرض کانال	$l = 1/5D$
موقعیت طولی پره	$l_c = 2/5D$
موقعیت عرضی پره	$l/2$
زاویه چرخش پره	$\alpha(t) = 2\pi K \sin(2\pi f_p t)$
سرعت زاویه‌ای	$\omega(t) = 4\pi K f_p \cos(2\pi f_p t)$
عدد رینولدز	$Re = \frac{u_{ref} D}{\mu} = 80$
عدد اشمیت	$Sc = \frac{\mu}{\rho Di} = 10$
عدد استروهال	$St = \frac{f_p D}{u_{ref}}$

جریان به عنوان سرعت مشخصه، اعداد بدون بعد حاکم بر مسئله و مشخصات میکرو کانال در جدول ۱ تعریف شده است.

در مسئله حاضر لزجت سیال اول ثابت است و لزجت سیال دوم تغییر می‌کند. روابط لزجت به صورت رابطه (۱) تعریف می‌شود [۲۳]:

$$R = \ln \frac{\mu_2}{\mu_1} \quad (1)$$

سرعت در ورودی به صورت پروفیل توسعه یافته اعمال گردیده است. پروفیل سرعت توسعه یافته با تغییر لزجت تغییر می‌کند بنابراین در ورودی میکرو کانال، پروفیل سرعت توسعه یافته برای دو سیال غیر

همچنین $|m(\vec{x}, t)\rangle$ بردار مومنت و $|m^{eq}(\vec{x}, t)\rangle$ بردار مومنتم تعادلی است که با معادله (۱۱) برابر است [۲۵].

$$\begin{aligned} |m^{eq}(x, t)\rangle &= (\rho, e^{(eq)}, \dot{e}^{(eq)}, \dot{j}_x, q_x^{(eq)}, \dot{j}_y, q_y^{(eq)}, p_{xx}^{(eq)}, p_{xy}^{(eq)})^T \\ j_x &= \mathbf{u} & j_y &= \mathbf{v} \\ e^{(eq)} &= -2\rho + 3(j_x^2 + j_y^2) & q_x^{(eq)} &= -j_x \\ \dot{e}^{(eq)} &= \rho - 3(j_x^2 + j_y^2) & q_y^{(eq)} &= -j_y \\ p_{xy}^{(eq)} &= j_x^2 \cdot j_y^2 & p_{xx}^{(eq)} &= j_x^2 - j_y^2 \end{aligned} \quad (11)$$

همچنین $\mathbf{u} = ui + vj$ بردار سرعت مایکروسکوپی در میدان دو بعدی است و S ماتریس آرامش چگالی با معادله (۱۲) برابر است.

$$\begin{aligned} S &= \text{diag}(0, -s_2, -s_3, 0, -s_5, 0, -s_7, -s_8, -s_9) \\ s_8 &= s_9 = 1/\tau_f \end{aligned} \quad (12)$$

در این فرمولاسیون زمان آرامش بدون بعد چگالی برابر توزیع تعادلی چگالی (f_i^{eq}) به کمک معادلات (۱۳) محاسبه می شوند. [۲۵]

$$f_i^{eq} = \rho w_i^f \left[1 + \frac{3}{c^2} \mathbf{e}_i^f \cdot \mathbf{u} + \frac{9}{2c^4} (\mathbf{e}_i^f \cdot \mathbf{u})^2 - \frac{3}{2c^2} \mathbf{u} \cdot \mathbf{u} \right] \quad (13)$$

که w_i^f ضرایب وزنی و \mathbf{e}_i^f توزیع سرعت گستته است که به ترتیب با استفاده از معادلات (۱۴) و (۱۵) محاسبه می شوند [۲۵].

$$w_i^f = \begin{cases} 4/9 & i = 0 \\ 1/9 & i = 1, 2, 3, 4 \\ 1/36 & i = 5, 6, 7, 8 \end{cases} \quad (14)$$

$$\mathbf{e}_i^f = \begin{cases} (0, 0) & i = 0 \\ \cos\left[\left((i-1)\frac{\pi}{2}\right], \sin\left[\left((i-1)\frac{\pi}{2}\right]\right] c & i = 1, 2, 3, 4 \\ \cos\left[\left((i-5)\frac{\pi}{2}\right], \sin\left[\left((i-5)\frac{\pi}{2}\right]\right] \sqrt{2} c & i = 5, 6, 7, 8 \end{cases} \quad (15)$$

در این معادلات $c = \delta x / \delta t$ سرعت میکروسکوپیک ذرات و $c_s = c / \sqrt{2}$ سرعت صوت در شبکه بولتزمن است. همچنین δx فاصله شبکه و δt گام زمانی است که جهت سهولت، در این مقاله این دو مقدار برابر یک در نظر گرفته شده است. کمیت‌های مایکروسکوپی هیدرودینامیکی به کمک معادله (۱۶) محاسبه می شوند [۲۵].

$$\rho = \sum_{i=0}^8 f_i, \quad \rho \vec{u} = \sum_{i=0}^8 \mathbf{e}_i^f f_i, \quad p = \rho c_s^2 \quad (16)$$

-۲-۲-۳ روش شبکه بولتزمن مدل D2Q5 با زمان آسایش چندگانه
در مطالعه صورت گرفته برای حل میدان غلظت به دلیل داشتن دقت مرتبه دوم برای مرزهای منحنی با شرط مرزی نیومن، از مدل

۳- معادلات حاکم و روش حل عددی

در این بخش معادلات حاکم بر جریان و روش عددی انتخاب شده جهت حل جریان اختلاط بیان خواهد شد.

۱-۳- معادلات حاکم

معادلات حاکم بر مسئله معادله بقای جرم، مومنتوم و غلظت است که به ترتیب در معادلات (۶) تا (۸) تعریف می شود.

$$\frac{D\rho}{Dt} = -\nabla \cdot \mathbf{V} \quad (6)$$

$$\rho \frac{D\mathbf{V}}{Dt} = -\nabla P + \mu \nabla^2 \mathbf{V} \quad (7)$$

$$\frac{DC}{Dt} = Di \nabla^2 C \quad (8)$$

که در این روابط ρ چگالی، P فشار، C غلظت، \mathbf{V} بردار سرعت، Di نفوذ جرمی و D/Dt معرف مشتق مادی است.

۲-۳- روش عددی

در این مقاله از مدل شبکه بولتزمن دو بعدی D2Q9 برای میدان سرعت و D2Q5 برای میدان غلظت استفاده شده است. همچنین در مطالعه حاضر از روش شبکه بولتزمن با زمان آسایش چندگانه که نسبت به مدل با یک زمان آسایش از پایداری و دقت بالاتری برخوردار است، استفاده گردیده است.

۲-۳-۱- روش شبکه بولتزمن مدل D2Q9 با زمان آسایش چندگانه

در این مطالعه برای اپراتور برخورد توابع توزیع چگالی، مطابق با معادله (۹) از روش زمان آسایش چندگانه استفاده شده است [۲۴].

$$|f_i(x + \mathbf{e}_i \delta_t, t + \delta_t) - |f_i(x, t)\rangle = -M^{-1} S [|m(x, t)\rangle - |m^{eq}(x, t)\rangle] \quad (9)$$

که در این معادله $|f_i(\vec{x}, t)\rangle$ بردار تابع توزیع چگالی است. M نیز ماتریس انتقال است که بردار تابع توزیع چگالی را به فضای مومنتم منتقل می کند و از معادله (۱۰) محاسبه می شود [۲۵].

$$M = \begin{bmatrix} 1 & 1 & 1 & 1 & 1 & 1 & 1 & 1 & 1 \\ -4 & -1 & -1 & -1 & -1 & 2 & 2 & 2 & 2 \\ 4 & -2 & -2 & -2 & -2 & 1 & 1 & 1 & 1 \\ 0 & 1 & 0 & -1 & 0 & 1 & -1 & -1 & 1 \\ 0 & -2 & 0 & 2 & 0 & 1 & -1 & -1 & 1 \\ 0 & 0 & 1 & 0 & -1 & 1 & 1 & -1 & -1 \\ 0 & 0 & -2 & 0 & 2 & 1 & 1 & -1 & -1 \\ 0 & 1 & -1 & 1 & -1 & 0 & 0 & 0 & 0 \\ 0 & 0 & 0 & 0 & 0 & 1 & -1 & 1 & -1 \end{bmatrix} \quad (10)$$

۳-۲-۳- شرایط مرزی در حل میدان سرعت و غلظت

شرایط مرزی در واقع توصیف شرایط فیزیک مرزها، از طریق معادلات ریاضی است. از آنجایی که در روش شبکه بولتزمن به جای کمیت‌های فیزیکی روی مرز همچون سرعت و غلظت با مقادیر توابع توزیع سروکار داریم، این روش نیازمند تکنیک‌هایی برای اعمال شرایط مرزی به کمک توابع توزیع است. در حل میدان سرعت برای اعمال شرط عدم لغزش بر روی دیوارهای کانال از شرط مرزی پرش به عقب [۲۵]، برای اعمال پروفیل سرعت ورودی از روش زو هی [۲۷] و برای اعمال شرط مرزی نیومن در خروجی از شرط مرزی فشار ثابت استفاده شده است. در مرز منحنی از روشی بر پایه بروون یا به توسط گو و همکاران [۲۸] مطابق شکل ۲ در رابطه (۲۵) ارائه شده استفاده گردیده است.

$$f_{\bar{\alpha}}(\mathbf{x}_w, t) = f_{\alpha}^{eq}(\mathbf{x}_w, t) - (1 - \tau^{-1}) f_{\alpha}^{neq}(\mathbf{x}_w, t) \quad (25)$$

که در این رابطه $f_{\alpha}^{neq}(\mathbf{x}_w, t)$ بیانگر تابع توزیع غیرتعادلی در گره جامد است.

$$\begin{cases} f_{\bar{\alpha}}^{neq}(\mathbf{x}_w, t) = f_{\alpha}^{neq}(\mathbf{x}_f, t) & \Delta \geq 0.75 \\ f_{\bar{\alpha}}^{neq}(\mathbf{x}_w, t) = f_{\alpha}^{neq}(\mathbf{x}_f, t) + (1 - \Delta) f_{\alpha}^{neq}(\mathbf{x}_{ff}, t) & \Delta < 0.75 \end{cases} \quad (26)$$

Δ نسبتی است که از رابطه (۲۷) زیر به دست می‌آید:

$$\Delta = \frac{|\mathbf{x}_f - \mathbf{x}_w|}{|\mathbf{x}_f - \mathbf{x}_w|} \quad 0 \leq \Delta < 1 \quad (27)$$

برای محاسبه $f_{\alpha}^{eq}(\mathbf{x}_w, t)$ از رابطه (۱۳) استفاده می‌شود که به پارامترهای $\bar{\rho}_w$ و $\bar{\mathbf{u}}_w$ در گره جامد نیاز دارد. جهت تعیین $\bar{\mathbf{u}}_w$ می‌توان از معادلات زیر استفاده کرد:

$$\begin{cases} \bar{\mathbf{u}}_w = \mathbf{u}_{w1} & \Delta \geq 0.75 \\ \bar{\mathbf{u}}_w = \Delta \mathbf{u}_{w1} + (1 - \Delta) \mathbf{u}_{w2} & \Delta < 0.75 \end{cases} \quad (28)$$

که در این معادلات، \mathbf{u}_{w1} و \mathbf{u}_{w2} سرعت‌های به دست آمده از بروون یا بی خطي زیر هستند:

$$\begin{cases} \mathbf{u}_{w1} = \frac{\mathbf{u}_b}{\Delta} + \frac{\Delta - 1}{\Delta} \mathbf{u}_f \\ \mathbf{u}_{w2} = \frac{2\mathbf{u}_b + (\Delta - 1)\mathbf{u}_{ff}}{1 + \Delta} \end{cases} \quad (29)$$

همچنین چگالی روی مرز برای جریان‌های تراکم ناپذیر، برابر با چگالی نزدیک‌ترین گره سیال در نظر گرفته می‌شود.
 $(\rho(\mathbf{x}_w, t) = \rho(\mathbf{x}_f, t))$

D2Q5 استفاده شده است [۲۶].

برای اپراتور برخورد توابع توزیع غلظت، مشابه با معادله (۱۷) از روش زمان آسایش چندگانه استفاده شده است.

$$|g_i(\mathbf{x} + \mathbf{e}_i \delta_i, t + \delta_i) - |g_i(\mathbf{x}, t)\rangle = N^{-1} Q [|n(\mathbf{x}, t)\rangle - |n^{eq}(\mathbf{x}, t)\rangle] \quad (17)$$

که در این معادله $|g_i(\mathbf{x}, t)\rangle$ بردار تابع توزیع غلظت است. N نیز ماتریس انتقال است که بردار تابع توزیع غلظت را به فضای مومنتم منتقل می‌کند و از معادله (۱۸) محاسبه می‌شود.

$$N = \begin{bmatrix} 1 & 1 & 1 & 1 & 1 \\ 0 & 1 & 0 & -1 & 0 \\ 0 & 0 & 1 & 0 & -1 \\ -4 & 1 & 1 & 1 & 1 \\ 0 & 1 & -1 & 1 & -1 \end{bmatrix} \quad (18)$$

همچنین $|n(\mathbf{x}, t)\rangle$ بردار مومنتم تعادلی است که با معادله (۱۹) برابر است.

$$|n^{eq}(\mathbf{x}, t)\rangle = (C, C u_x, C u_y, -2C/3, 0)^T \quad (19)$$

و ماتریس آرامش Q به صورت رابطه (۲۰) تعریف می‌شود:

$$Q = \text{diag}(1, (3Di + 0.5)^{-1}, (3Di + 0.5)^{-1}, 1, 1) \quad (20)$$

تابع توزیع تعادلی غلظت (g_i^{eq}) به کمک معادله (۲۱) محاسبه می‌شود.

$$g_i^{eq} = c w_i^g \left[1 + \frac{1}{c^2} \mathbf{e}_i^g \cdot \mathbf{u} \right] \quad (21)$$

که w_i^g ضرایب وزنی و \mathbf{e}_i^g توزیع سرعت گسسته است که به ترتیب با استفاده از معادلات (۲۲) و (۲۳) محاسبه می‌شوند.

$$w_i^g = \begin{cases} \frac{1}{3} & i = 0 \\ \frac{1}{6} & i = 1, 2, 3, 4 \end{cases} \quad (22)$$

$$\mathbf{e}_i^g = \begin{cases} (0, 0) & i = 0 \\ (\pm 1, 0), (0, \pm 1) & i = 1, 2, 3, 4 \end{cases} \quad (23)$$

کمیت مایکروسکوپی غلظت به کمک معادله (۲۴) محاسبه می‌شود.

$$C = \sum_{i=0}^4 g_i \quad (24)$$

(۳۱) و (۳۲) را نمودند استفاده شده است.

$$g_{\bar{\alpha}}(\mathbf{x}_f, t + \delta t) = [c_{n1}\tilde{g}_{\alpha}(\mathbf{x}_f, t) + c_{n2}\tilde{g}_{\alpha}(\mathbf{x}_{ff}, t) + c_{n3}\tilde{g}_{\bar{\alpha}}(\mathbf{x}_f, t)] + c_{n4} \frac{\delta t}{\delta x} \phi_{n\bar{\alpha}} \quad (31)$$

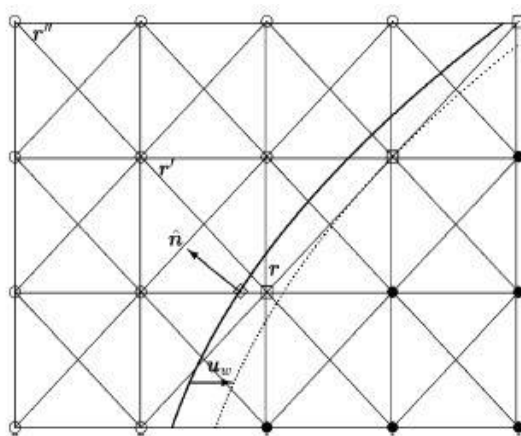
$$\begin{aligned} \phi_{n\bar{\alpha}} &= \left\{ \frac{1}{c'_{d4}} [(c'_{n1} - c'_{d1})\tilde{g}_{\beta}(\mathbf{x}'_f, t)(c'_{n2} - c'_{d2})(c'_{n3} - c'_{d3})] \sin \theta \right. \\ &\quad \left. - \frac{1}{c'_{d4}} [(c_{n1} - c_{d1})\tilde{g}_{\alpha}(\mathbf{x}_f, t) + (c_{n2} - c_{d2})\tilde{g}_{\alpha}(\mathbf{x}_{ff}, t) + (c_{n3} - c_{d3})\tilde{g}_{\bar{\alpha}}(\mathbf{x}_f, t)] \sin \theta \right. \\ &\quad \left. + \frac{c'_{n4}}{c'_{d4}} \frac{\delta t}{\delta x} \phi_n / \left[\frac{c_{n4}}{c_{d4}} \frac{\delta t}{\delta x} \sin \theta + \frac{c'_{n4}}{c'_{d4}} \frac{\delta t}{\delta x} \cos \theta \right] \right\} \end{aligned} \quad (32)$$

که در این رابطه، ضرایب عبارت‌اند از:

$$c_{n1} = 1, c_{n2} = \frac{1-2\Delta}{2\Delta+1}, c_{n3} = \frac{2\Delta-1}{2\Delta+1}, c_{n4} = \frac{2}{2\Delta+1} \quad (33)$$

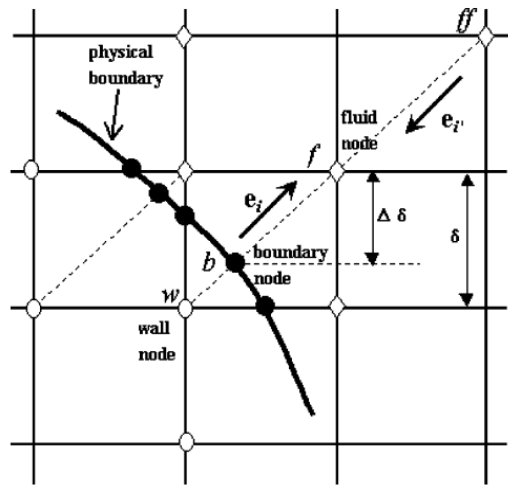
$$c'_{di} = c_{di} (\Delta = 0), c'_{ni} = c_{ni} (\Delta = 0) \quad i = 1-4 \quad (34)$$

۴-۲-۳- روش شارژ مجدد
 همان‌طور که در شکل ۴ نشان داده شده است، از آنجاکه شبکه بولتزمن از شبکه دکارتی ثابت استفاده می‌کند، با حرکت مرز در هر تکرار، تعدادی از گره‌ها از دامنه جامد به درون دامنه سیال منتقل می‌شوند و بالعکس. در چنین گره‌هایی تعدادی از توابع توزیع و همچنین مقدار متغیرهای عمومی مجہول هستند که برای ادامه



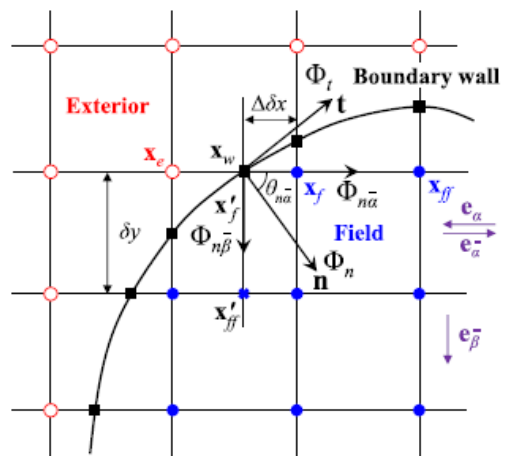
شکل ۴- تشریح یک مرز متحرک با سرعت u_w [۳۰]

Fig. 4. Illustration of a moving boundary with velocity u_w [30]



شکل ۲: مرز منحنی سرعت در مدل D2Q9 [28]

Fig. 2. Speed curved boundary in D2Q9 LB model [28]



شکل ۳-مرز منحنی غلظت در مدل D2Q5 [26]

Fig. 3. Concentration curved boundary in D2Q5 LB model [26]

در حل میدان غلظت برای اعمال شرط مرزی نیومن در خروجی و دیوارهای کanal از شرط پرش به عقب و برای اعمال شرط مرزی غلظت معلوم ϕ_d در ورودی از معادله (۳۰) استفاده شده است [۲۹].

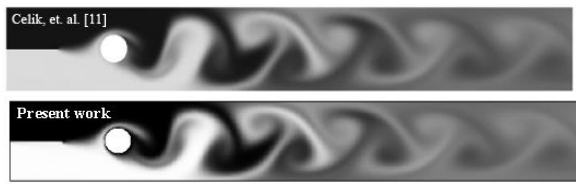
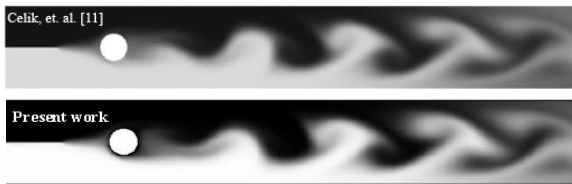
$$g_{\bar{\alpha}}(\mathbf{x}_f, t + \delta t) = -\hat{g}_{\alpha}(\mathbf{x}_f, t) + \frac{1}{3} \phi_d \quad \alpha = 1:4 \quad (30)$$

همچنین برای مرز منحنی نیومن در میدان غلظت از روشی با دقت مرتبه دوم که لی و همکاران [۲۶] بر اساس شکل ۳ طبق رابطه

جدول ۲- شاخص اختلاط در خروجی میکرو کانال در تعداد گرهای مختلف

Table 2. Mixing index at microchennal output at number of different nodes

تعداد گره در عرض کانال	D_I	درصد اختلاف %
۱۲۱	۰/۴۳۶۵	۰/۴۳۶۸
۶۱	۰/۴۷۳۶	۰/۴۴۲۰
۳۱	۰/۵۳۴۸	-
		۱/۲
		۶/۷
		۱۱/۴



ب

الف

شکل ۵- مقایسه کانتورهای غلظت در مطالعه حاضر با کار سیلیک و همکاران [۱۱] a) $F=1$ b) $F=0$

Fig. 5. Comparison of concentration contours between present study and Celik et al. [11] a. $F=1$ b. $F=0$

اعداد بی بعد $St=0/5$ و $R=2$ مورد بررسی قرار گرفته است. همان‌طور که مشخص است افزایش تعداد گره از ۱۱۱ به ۱۲۱ در امتداد عرض کانال، تغییر بسیار کمی در شاخص اختلاط ایجاد کرده است؛ بنابراین تعداد گره ۱۱۱ در امتداد عرض کانال، برای انجام محاسبات کافی است.

به منظور اطمینان از نتایج حاصل از اختلاط دو سیال در میکرو کانال فعال، نتایج به دست آمده با نتایج سیلیک و همکاران [۱۱] اعتبارسنجی گردیده است. در این مطالعه میکرو کانال با طول $21D$ و عرض $3D$ در نظر گرفته شده که در آن یک سیلندر دایره‌ای به قطر $2D$ در فاصله افقی $4D$ از ورودی و یک صفحه جداکننده به طول D در ورودی قرار گرفته است. این سیلندر با دامنه $D/4$ نوسان می‌کند. در این مطالعه F نسبت فرکانس اجباری سیلندر به فرکانس طبیعی تعريف شده است. در شکل ۵ کانتورهای غلظت برای دو نسبت $F=0$ و $F=1$ مقایسه شده است که از تطابق خوبی برخوردار است.

همچنین به منظور اطمینان از نتایج حاصل از اختلاط دو سیال با لجزت متفاوت، روش حل عددی انتخاب شده با نتایج قبلی و همکاران [۱۷] اعتبارسنجی شده است. در این مطالعه میکرو کانال با طول $31D$ و عرض $3D$ در نظر گرفته شده که در آن پرهای به طول $2D$ و عرض $D/0.48$ و به فاصله $4D$ از ورودی تحت زاویه $\pm 45^\circ$ با سرعت ثابت نوسان می‌کند. در شکل ۶ کانتورهای غلظت و در

شبیه‌سازی باید تخمین زده شوند. به روش‌هایی که این مقادیر مجھول به کمک آن‌ها تخمین زده می‌شوند، روش‌های شارژ مجدد گفته می‌شود. در این مطالعه از طرح برون‌یابی مرتبه دومی که لامنده و همکاران [۳۰] برای شارژ مجدد ارائه کردند، استفاده شده است. در این روش در هر گره سیال و یا جامد جدید، از یک روش برون‌یابی درجه‌دو مطابق رابطه‌های (۳۶) و (۳۷) جهت محاسبه توابع توزیع مجھول استفاده می‌شود.

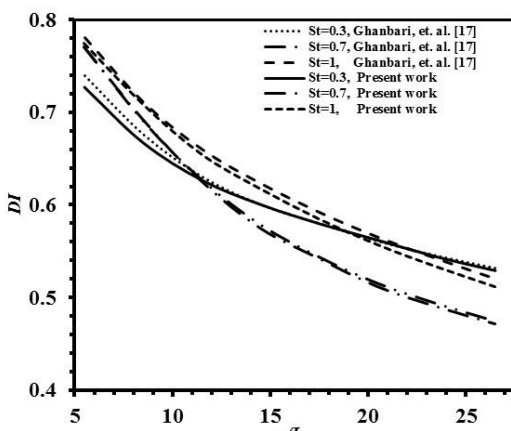
$$f_i(x_{\text{new}}, t + \partial t) = 3f_i(x_{\text{new}} + e_i^f \partial t, t + \partial t) - 3f_i(x_{\text{new}} + 2e_i^f \partial t, t + \partial t) + f_i(x_{\text{new}} + 3e_i^f \partial t, t + \partial t) \quad (36)$$

$$g_i(x_{\text{new}}, t + \partial t) = 3g_i(x_{\text{new}} + e_i^g \partial t, t + \partial t) - 3g_i(x_{\text{new}} + 2e_i^g \partial t, t + \partial t) + g_i(x_{\text{new}} + 3e_i^g \partial t, t + \partial t) \quad (37)$$

e_i^f و e_i^g بردار سرعتی است که حاصل ضرب آن‌ها در آن جهت بیشینه می‌شود. در اینجا \bar{n} بردار یکه عمود بر سطح به سمت خارج مرز در آن گره است.

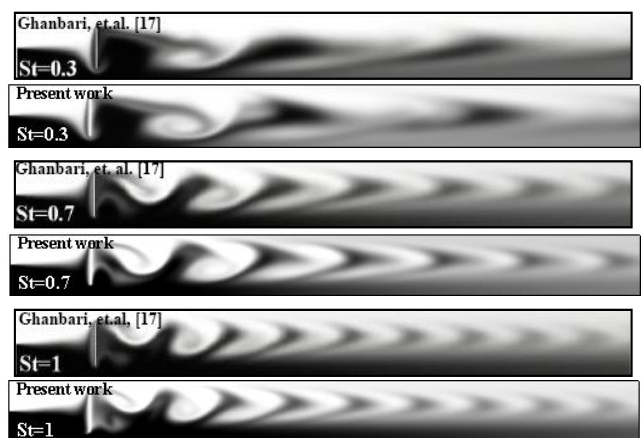
۴- اعتبارسنجی

به منظور حذف خطاهای ناشی از درشتی شبکه، انجام محاسبات با تعداد شبکه‌های مختلف تا رسیدن به مرحله مستقل از شبکه ضروری خواهد بود. بدین منظور شبکه‌های تک بلوکی مختلفی طبق جدول ۲ در نظر گرفته شده و شاخص اختلاط در خروجی میکرو کانال در



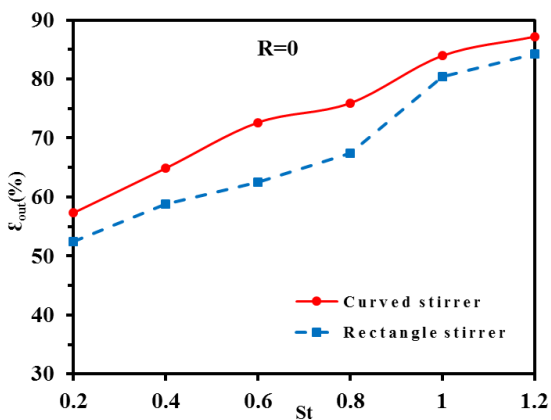
شکل ۷- مقایسه تغییرات شاخص اختلاط در مطالعه حاضر با نتایج مرجع [۱۷]

Fig. 7. Comparison of mixing index changes between present study and results of Ref. [17]



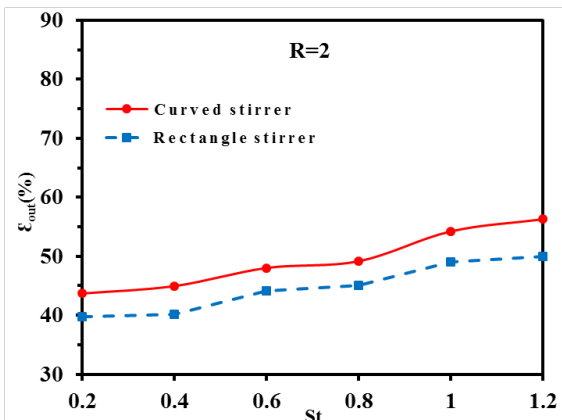
شکل ۶- مقایسه کانتورهای غلظت در مطالعه حاضر با کار قنبری و همکاران [۱۷]

Fig. 6. Comparison of concentration contours between present study and Ghanbari et al. [17]



شکل ۸- تغییرات بازده اختلاط نسبت به اعداد مختلف استروهال برای پره منحنی شکل و مستطیل شکل در دو نسبت لگاریتمی لزحت

Fig. 8. Mixing efficiency changes related to various Strouhal numbers for curved stirrer and rectangle stirrer at two different viscosity logarithmic ratios



و منحنی شکل نوسانی مورد بررسی قرار گرفته و با هم مقایسه شده است. سپس برای روشن تر شدن مسئله کانتورهای غلظت و خطوط جریان برای یک دوره تناوب نشان داده شده و در ادامه اثرات سرعت و دامنه نوسان پره منحنی شکل و تغییر نسبت لگاریتمی لزحت بر بازده اختلاط بررسی شده است.

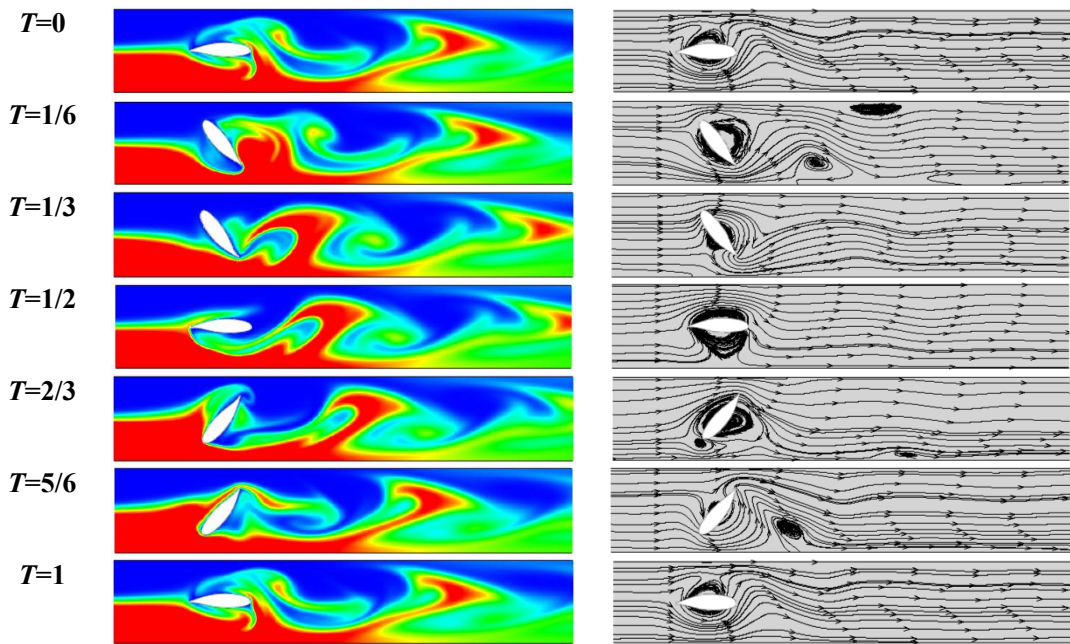
شکل ۷ شاخص اختلاط در مطالعه حاضر با تحقیق موردنظر در سه عدد استروهال مختلف $0/0/3$, $0/0/7$ و 1 , $Sc=10$, $Re=50$ و نسبت لگاریتمی لزحت ۲ مقایسه شده است. همان‌گونه که از شکل‌های ۶ و ۷ مشاهده می‌شود نتایج از تطابق خوبی با نتایج مرجع [۱۷] برخوردار است.

۱-۵- تغییرات بازده اختلاط برای دو مدل پره

در این بخش، پره‌های مستطیل شکل به طول D و عرض $0/213D$ در میکرو کانال با همان مشخصات شکل ۱ در نظر گرفته شده و

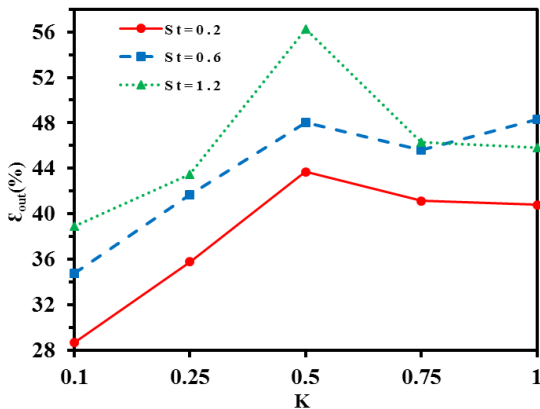
۵- بررسی نتایج

در این بخش، ابتدا تغییرات بازده اختلاط دو سیال با لزحت یکسان و متفاوت در خروجی میکرو کانال با دو پره مستطیل شکل



شکل ۹- کانتورهای غلظت و خطوط جریان برای یک دوره تناوب در حالت $T=1$

Fig. 9. Concentration contours and streamlines for one period time at $R=2$, $K=0.5$ and $St=1$



شکل ۱۰- تغییرات بازده اختلاط نسبت به دامنه‌های مختلف نوسان در اعداد استروهال مختلف

Fig. 10. Mixing efficiency changes related to different oscillating amplitudes at various Strouhal numbers

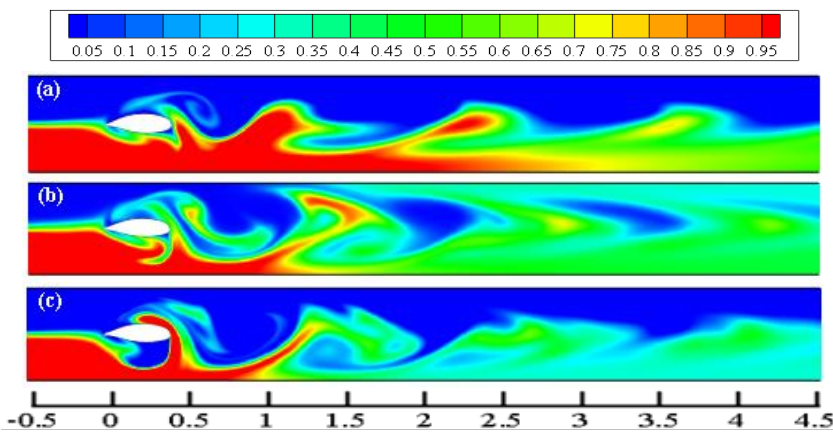
گردابهای سمت خروجی حرکت می‌کنند و بدین ترتیب دو سیال با هم مخلوط می‌شوند.

۳-۵- اثر دامنه نوسان پره بر بازده اختلاط

علاوه بر تغییر شکل هندسی پره عامل دیگری نیز بر بازده اختلاط مؤثر هستند. در این بخش تأثیر دامنه نوسان پره منحنی شکل بر بازده اختلاط موردمطالعه قرار گرفته است. در شکل ۱۰

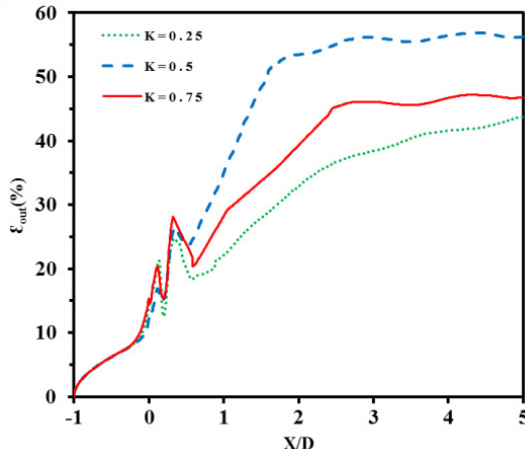
تغییرات بازده اختلاط در خروجی میکرو کanal با پره منحنی شکل و مستطیل شکل در مقابل اعداد استروهال $0/4$ ، $0/6$ ، $0/8$ ، $0/2$ و $1/2$ ، در دامنه نوسان $0/5$ برای دو سیال با نسبت لگاریتمی لزجت $1/2$ و 2 موردمطالعه قرار گرفته و نتایج آن در شکل ۸ نشان داده شده است. همان‌گونه که در شکل مشخص است در تمام اعداد استروهال بررسی شده بازده اختلاط دو سیال با لزجت یکسان و متفاوت در میکرو کanal مجهز به پره منحنی شکل بیشتر از میکرو کanal مجهز به پره مستطیل شکل است بنابراین تغییر شکل هندسی پره به صورت ایرفویل باعث بهبود در بازده اختلاط می‌شود.

۴-۵- کانتورهای غلظت و خطوط جریان برای یک دوره تناوب در شکل ۹ کانتورهای غلظت برای یک دوره تناوب (T) در حالت $R=2$ ، $K=0.5$ و $St=1$ نشان داده شده است. در این شکل کانتورها با اختلاف زمانی $T/6$ و اختلاف زاویه‌ای 120° هستند. با توجه به کانتورها، در ابتدای یک دوره تناوب، هنگامی که پره در خلاف جهت عقربه‌های ساعت در حال چرخش است سیال C_1 در نیمه پایینی کanal به سمت سیال C_2 در نیمه بالایی کanal کشیده می‌شود و در ادامه با چرخش پره و برگشت به حالت اولیه گردابه قارچی شکل تشکیل و از پره جدا می‌شود. این روند به طور متناوب ادامه می‌یابد و



شکل ۱۱- کانتورهای غلظت در $St=1.2$ برای سه دامنه نوسان a) $K=0.25$ b) $K=0.5$ c) $K=0.75$

Fig. 11. Concentration contours at $St=1.2$ for three oscillating amplitudes a) $K=0.25$ b) $K=0.5$ c) $K=0.75$



شکل ۱۲- بازده اختلاط در طول کanal در $St=1/2$ برای سه دامنه نوسان مختلف

Fig. 12. Mixing efficiency with length of channel at $St=1.2$ for three different oscillating amplitudes

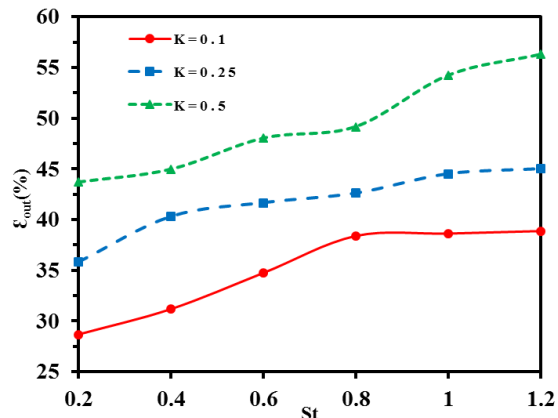
شکل شده و سیال در نزدیکی دیواره نیز در فرایند اختلاط وارد شده و بازده اختلاط از دو دامنه نوسان دیگر بیشتر شده است.

در شکل ۱۲ نمودار روند بازده اختلاط در طول کanal در $St=1/2$ برای سه دامنه نوسان $0/25$ ، $0/5$ و $0/75$ نشان داده شده است. مطابق با آنچه در شکل مشخص است روند بازده تا $X/D=0/5$ در سه دامنه مختلف نوسان یکسان است و در ادامه با شروع شکل‌گیری گردابه‌ها روند بازده در سه دامنه متفاوت به پیش می‌رود به‌طوری‌که در دامنه نوسان $0/75$ پیش روی گردابه‌ها به سمت گردابه‌های هلالی شکل و در دامنه نوسان $0/5$ تشکیل گردابه‌های قارچی شکل و رشد

تغییرات بازده اختلاط نسبت به دامنه‌های مختلف نوسان در اعداد استروهال $0/2$ ، $0/5$ و $1/2$ برای دو سیال با نسبت لگاریتمی لزجت ۲ نشان داده شده است.

همان‌گونه که در شکل مشخص است در تمام اعداد استروهال بررسی شده، بازده اختلاط در دامنه نوسان $0/5$ یک مقدار بهینه را نشان می‌دهد. در شکل ۱۱ کانتورهای غلظت در $1/2$ برای سه دامنه نوسان $0/25$ ، $0/5$ و $0/75$ نشان داده شده است. اثر حرکت پره و میزان انسدادی که پره در طول حرکت خود ایجاد می‌کند به صورت گردابه در سیال ظاهرشده و بر بازده اختلاط تأثیر می‌گذارد. در دامنه نوسان $0/25$ (زاویه نوسان 90°) اگرچه میزان انسداد کanal نسبت به دامنه نوسان $0/5$ (زاویه نوسان 180°) بیشتر است، اما میزان القای حرکت پره به جریان نسبت به دامنه نوسان $0/5$ کمتر است و اثر حرکت پره تنها منجر به ایجاد مسیر مارپیچ در کانتور غلظت شده است بنابراین سطح تماس دو سیال اندک است و بازده اختلاط در این دامنه نوسان، پایین است. در دامنه نوسان $0/75$ (زاویه نوسان 270°) در قسمت‌هایی از حرکت پره در یک دوره تناوب میزان انسدادی که پره ایجاد می‌کند نسبت به دامنه نوسان $0/5$ کمتر است و اثر حرکت پره به سمت تشکیل گردابه‌های هلالی شکل در میدان غلظت پیش رفته است. این هلال‌ها با کشاندن لایه‌های سیالات به درون یکدیگر باعث افزایش سطح تماس بین سیالات شده و میزان اختلاط را نسبت به مسیر مارپیچ افزایش می‌دهند. در دامنه نوسان $0/5$ میزان القای حرکت پره و میزان انسداد مناسب سبب تشکیل گردابه‌های قارچی

با توجه به شکل ۱۳ در تمام دامنهای نوسان بررسی شده با افزایش اعداد استروهال بازده اختلاط افزایش یافته است. این افزایش قابل توجه بوده است. در شکل ۱۴ کانتورهای غلظت در $K=0.5$ برای سه عدد استروهال $0.4, 0.8$ و 1.2 نمایش داده شده است. افزایش عدد استروهال موجب افزایش سرعت نوسان پره می‌شود و افزایش سرعت نوسان پره موجب تشکیل گردابهای رشد عرضی آن‌ها می‌گردد به طوری که در عدد استروهال پایین نوسان پره موجب ایجاد مسیر مارپیچ، در عدد استروهال متوسط موج تشکیل گردابهای هلالی شکل و در عدد استروهال بالا موج تشکیل گردابهای قارچی شکل شده است که به ترتیب باعث افزایش سطح تماس دو سیال و افزایش بازده اختلاط می‌شوند.



شکل ۱۳- تغییرات بازده اختلاط نسبت به اعداد مختلف استروهال در دامنهای مختلف نوسان

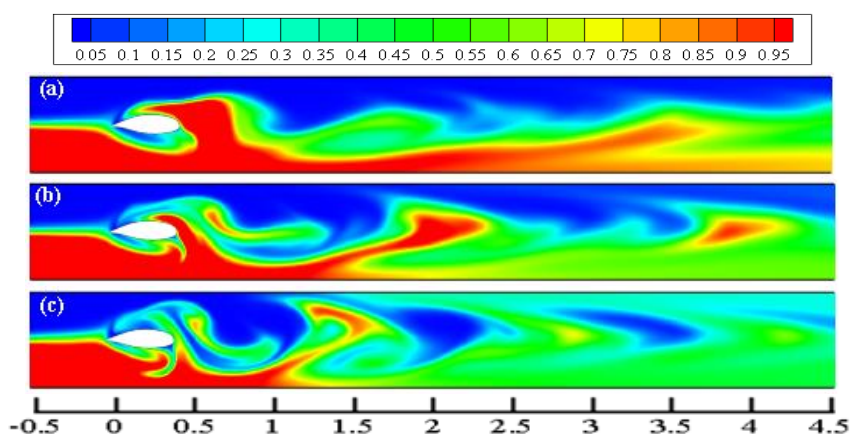
Fig. 13. Mixing efficiency changes related to various Strouhal numbers at different oscillating amplitudes

۵-۵- اثر نسبت لگاریتمی لزجت بر بازده اختلاط
جهت بررسی تأثیرگذاری نسبت لگاریتمی لزجت بر بازده اختلاط، سه مقدار $0, 1$ و 2 برای نسبت لگاریتمی لزجت در نظر گرفته شده است. در شکل ۱۵ تغییرات بازده اختلاط نسبت به اعداد مختلف استروهال در سه نسبت لگاریتمی لزجت و $K=0.5$ نشان داده شده است.

همان‌گونه در شکل ۱۵ مشخص است در هر سه نسبت لگاریتمی لزجت با افزایش عدد استروهال، بازده اختلاط افزایش می‌یابد و هر چه نسبت لگاریتمی لزجت دو سیال بیشتر باشد شیب افزایش بازده اختلاط کمتر است. همچنین با توجه به بازده اختلاط در هر عدد استروهال می‌توان نتیجه گرفت که در هر عدد استروهال معین،

عرضی آن‌ها باعث افزایش بازده اختلاط در طول کanal می‌شود. شیب افزایش بازده اختلاط از بعد از پره تا $X/D=2/5$ تند و سپس به علت فاصله گرفتن از پره و ضعیف شدن گردابهای کند می‌شود.

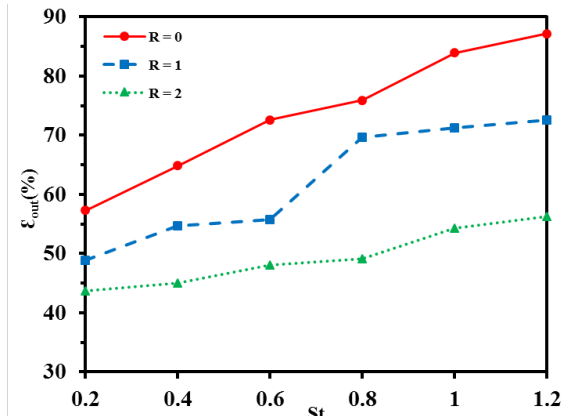
۵-۶- اثر سرعت نوسان پره بر بازده اختلاط
عامل دیگری که می‌تواند بر بازده اختلاط مؤثر باشد سرعت نوسان پره است. در این بخش تأثیر سرعت نوسان پره منحنی شکل بر بازده اختلاط مورد مطالعه قرار گرفته است. در شکل ۱۳ تغییرات بازده اختلاط نسبت به اعداد استروهال مختلف در سه دامنه نوسان $0.25, 0.5$ و 1 برای دو سیال با نسبت لگاریتمی لزجت 2 نشان داده شده است.



شکل ۱۴- کانتورهای غلظت در $K=0.5$ برای سه عدد استروهال a) $St=0.4$ b) $St=0.8$ c) $St=1.2$

Fig. 14. Concentration contours at $K=0.5$ for three Strouhal numbers a) $St=0.4$ b) $St=0.8$ c) $St=1.2$

روند اختلاط کمتر وارد شده است؛ بنابراین هر چه اختلاف لزجت دو سیال بیشتر باشد، دو سیال در برابر تغییر شکل، مقاومت بیشتری از خود نشان می‌دهند و اختلاط کمتر صورت می‌گیرد. همچنین همان‌گونه در شکل ۱۵ مشخص است در اعداد استروهال بالا اختلاف بازده بین نسبت‌های لگاریتمی لزجت بیشتر از سایر اعداد استروهال است. در شکل ۱۷ کانتورهای غلظت در $K=0.5$ و $St=0.2$ برای سه نسبت لگاریتمی لزجت $R=0$ ، 1 و 2 نمایش داده شده است. با مقایسه شکل ۱۶ و ۱۷ مشخص می‌شود که در اعداد استروهال پایین، به علت سرعت کم پره، گردابه‌ها در هیچ‌یک از نسبت‌های مختلف لگاریتمی لزجت، به خوبی تشکیل نمی‌شوند و بازده اختلاط در این سه نسبت، تفاوت اندکی دارد.



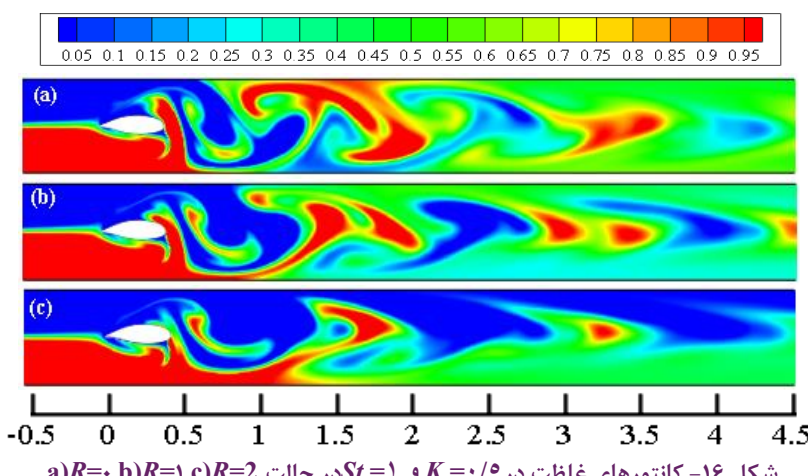
شکل ۱۵- تغییرات بازده اختلاط نسبت به اعداد مختلف استروهال در نسبت‌های لگاریتمی مختلف لزجت

Fig. 15. Mixing efficiency changes related to various Strouhal numbers at different viscosity logarithmic ratios

نتیجه‌گیری

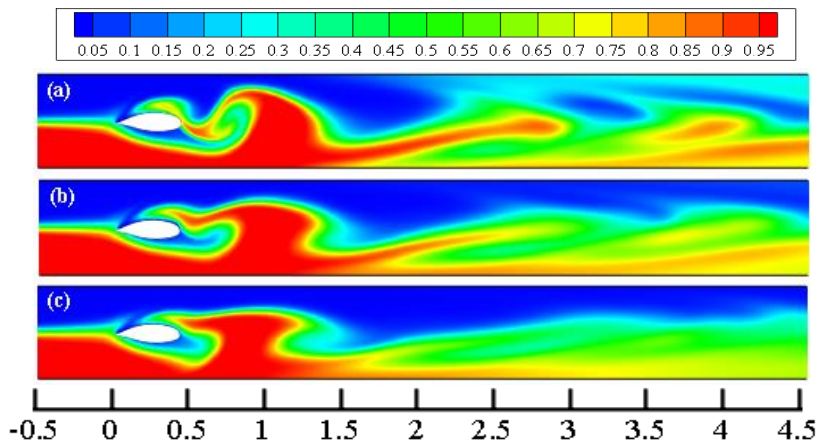
در مطالعه حاضر اختلاط دو سیال با لزجت‌های متفاوت در یک میکرو کانال مجهز به پره منحنی شکل به روش شبکه بولتزمن بررسی شده است. اعداد استروهال در محدوده $0.2 \leq St \leq 1.2$ ، سه دامنه نوسان $0.25, 0.5$ و 0.75 و نسبت لگاریتمی لزجت $0, 1$ و 2 در نظر گرفته شده است.
در ابتدای امر تأثیر تغییر شکل هندسی پره از مستطیل به ایرفویل بر بازده اختلاط مورد بررسی قرار گرفت که نتایج، بهبود بازده اختلاط برای دو سیال با لزجت یکسان و متفاوت در تمام اعداد استروهال را نشان داد بنابراین استفاده از پره منحنی شکل باعث بهبود نتایج شبیه‌سازی می‌شود.

هنگامی که نسبت لگاریتمی لزجت افزایش یابد، بازده کم می‌شود. به منظور بررسی بیشتر، در شکل ۱۶ کانتورهای غلظت در $K=0.5$ و $St=1$ برای سه نسبت لگاریتمی لزجت $0, 1$ و 2 نمایش داده شده است. همان‌گونه که در کانتورها مشخص است در $R=0$ گردابه‌های قارچی شکل به طور کامل تشکیل شده و بر تمام عرض کانال تأثیر گذاشته است و به همین علت اختلاط به خوبی صورت گرفته است. این در حالی است که در $R=1$ گردابه‌های قارچی شکل به طور کامل شکل نگرفته و سطح تماس دو سیال کمتر از حالت قبل است. در $R=2$ گردابه‌های قارچی شکل اصلاً تشکیل نشده و گردابه‌های هلالی شکل کمتر از $R=1$ تشکیل شده است و سیال نزدیک دیواره‌ها در



شکل ۱۶- کانتورهای غلظت در $K=0.5$ و $St=1$ در حالت a) $R=0$ b) $R=1$ c) $R=2$

Fig. 16. Concentration contours at $K=0.5$ and $St=1$ at a) $R=0$ b) $R=1$ c) $R=2$



شکل ۱۷- کانتورهای غلظت در $K=0.5$ و $St=0.2$ در حالت a) $R=0$ b) $R=1$ c) $R=2$

Fig. 17. Concentration contours at $K=0.5$ and $St=0.2$ at a) $R=0$ b) $R=1$ c) $R=2$

فهرست علائم	علائم انگلیسی
e	• در سه عدد استروهال $0/6$ ، $0/1$ و $1/2$ بازده اختلاط نسبت به دامنه نوسان مورد مطالعه قرار گرفت که نتایج نشان داد در هر سه عدد استروهال، بازده اختلاط در دامنه نوسان $5/0$ یک مقدار بهینه را دارد.
f	• در سه دامنه نوسان $1/1$ ، $2/5$ و $5/5$ ، بازده اختلاط نسبت به عدد استروهال سنجیده شد که مشخص شد در تمام دامنه‌ها با افزایش اعداد استروهال و درنتیجه افزایش سرعت پره، بازده افزایش می‌یابد البته در دامنه نوسان $5/0$ این افزایش قابل ملاحظه است.
f_p	• در سه نسبت لگاریتمی لزجت 0 ، 1 و 2 ، بازده اختلاط نسبت به عدد استروهال مورد بررسی قرار گرفت و مشخص شد که در تمام اعداد استروهال با افزایش نسبت لگاریتمی لزجت، بازده کاهش می‌یابد و این کاهش در اعداد استروهال بالا قابل ملاحظه است؛ بنابراین هر چه اختلاف لزجت دو سیال بیشتر باشد، دو سیال در برابر تغییر شکل، مقاومت بیشتری از خود نشان می‌دهند و اختلاط کمتر صورت می‌گیرد.
g	
D	
K	
l	
m	
L	
m	
M	
n	
N	
P	
Q	
R	
Re	
S	
Sc	سرعت میکروسکوپیک ذرات، ms^{-1}
St	غلظت سیال
T	سرعت صوت در شبکه، ms^{-1}
u	$m^2 s^{-1}$ ، پخش جرمی
u_0	شاخص اختلاط

علامی یونانی

جایه جایی زاویه ای پره، rad	α
گام زمانی، s	δt
گام مکانی، m	δx
ویسکوزیته سینماتیکی، m^2/s	ν
چگالی، kg/m^3	ρ
سرعت زاویه ای پره، $rads^{-1}$	ω
	زیرنویس
گره مرزی در قسمت جامد	b
گره مرزی در قسمت سیال	f
میزان متوسط	mean
گره روی مرز فیزیکی	w
	بالانویس
تعادلی	eq
غیر تعادلی	neq

مراجع

- J.G. Santiago, R.J. Adrian, H. Aref, D.J. Beebe, Passive mixing in a three-dimensional serpentine microchannel, *Journal of microelectromechanical systems*, 9(2) (2000) 190-197.
- [8] S. J. An, Y. D. Kim, S. Heu, J. S. Maeng, Numerical study of the mixing characteristics for rotating and oscillating stirrers in a microchannel, *Journal of the Korean Physical Society*, 49(2) (2006) 651-659.
- [9] S. Y. Jin, Y. Z. Liu, W. Z. Wang, Z. M. Cao, H.S. Koyama, Numerical evaluation of two-fluid mixing in a swirl micro-mixer, *Journal of Hydrodynamics*, 18(5) (2006) 542-546.
- [10] Y.D. Kim, S.J. An, J.S. Maeng, Numerical analysis of the fluid mixing behaviors in a microchannel with a circular cylinder and an oscillating stirrer, *Journal of Korean Physical Society*, 50 (2007) 505.
- [11] B. Celik, U. Akdag, S. Gunes, A. Beskok, Flow past an oscillating circular cylinder in a channel with an upstream splitter plate, *Physics of Fluids*, 20(10) (2008) 103603.
- [12] B. Celik, A. Beskok, Mixing induced by a transversely oscillating circular cylinder in a straight channel, *Physics of Fluids*, 21(7) (2009) 073601.
- [13] M. Im, J. Y. Park, Y. K. Oh, Y. D. Kim, J. S. Maeng, S. Y. Han, Microfluidic analysis of a micro-mixer with an oscillating stirrer.
- [14] S. P. Ryu, J. Y. Park, S. Y. Han, Optimum design of an active micro-mixer using successive Kriging method, *International Journal of Precision Engineering and Manufacturing*, 12(5) (2011) 849-855.
- [15] R. Shamsoddini, M. Sefid, R. Fatehi, ISPH modelling and analysis of fluid mixing in a microchannel with an oscillating or a rotating stirrer, *Engineering Applications of Computational Fluid Mechanics*, 8(2) (2014) 289-298.
- [16] R. Shamsoddini, Numerical Investigation of Fluid Mixing in a Micro-Channel Mixer with Two Rotating Stirrers by Using the Incompressible SPH Method, *Iran. J. Chem. Chem. Eng. Research Article Vol*, 36(5) (2017).

- [1] N. T. Nguyen, *Micromixers: fundamentals, design and fabrication*, William Andrew, (1970).
- [2] V. Hessel, H. Löwe, F. Schönfeld, Micromixers—a review on passive and active mixing principles, *Chemical Engineering Science*, 60(8-9) (2005) 2479-2501.
- [3] L. Capretto, W. Cheng, M. Hill, X. Zhang, *Micromixing within microfluidic devices*, in: *Microfluidics*, Springer, (2011), pp. 27-68.
- [4] J. Y. Park, Y. D. Kim, S. R. Kim, S. Y. Han, J. S. Maeng, Robust design of an active micro-mixer based on the Taguchi method, *Sensors and Actuators B: Chemical*, 129(2) (2008) 790-798.
- [5] M. Koch, H. Witt, A. Evans, A. Brunschweiler, Improved characterization technique for micromixers, *Journal of Micromechanics and Microengineering*, 9(2) (1999) 156.
- [6] Y.Z. Liu, B.J. Kim, H.J. Sung, Two-fluid mixing in a microchannel, *International journal of heat and fluid flow*, 25(6) (2004) 986-995.
- [7] R.H. Liu, M.A. Stremler, K.V. Sharp, M.G. Olsen,

- [23] L. Talon, E. Meiburg, Plane Poiseuille flow of miscible layers with different viscosities: instabilities in the Stokes flow regime. *Journal of Fluid Mechanics*, 686 (2011) 484-506.
- [24] P. Lallemand, L. S. Luo, Theory of the lattice Boltzmann method: Acoustic and thermal properties in two and three dimensions, *Physical review E*, 68(3) (2003) 036706.
- [25] Z. Guo, C. Shu, Lattice Boltzmann method and its applications in engineering, World Scientific, (2013).
- [26] L. Li, R. Mei, J.F. Klausner, Lattice Boltzmann models for the convection-diffusion equation: D2Q5 vs D2Q9, *International Journal of Heat and Mass Transfer*, 108 (2017) 41-62.
- [27] Q. Zou, X. He, On pressure and velocity boundary conditions for the lattice Boltzmann BGK model, *Physics of fluids*, 9(6) (1997) 1591-1598.
- [28] Z. Guo, C. Zheng, B. Shi, An extrapolation method for boundary conditions in lattice Boltzmann method, *Physics of fluids*, 14(6) (2002) 2007-2010.
- [29] L. Li, R. Mei, J.F. Klausner, Boundary conditions for thermal lattice Boltzmann equation method, *Journal of Computational Physics*, 237 (2013) 366-395.
- [30] P. Lallemand, L. S. Luo, Lattice Boltzmann method for moving boundaries, *Journal of Computational Physics*, 184(2) (2003) 406-421.
- [17] S. Ghanbari, M. Sefid, R. Shamsoddini, Numerical Analysis of two-fluid mixing with various Density and Viscosity in a microchannel with forced oscillating stirrer. *Modares Mechanical Engineering*, 16(8) (2016) 109-119. (in Persian)
- [18] H. Khozeymeh-Nezhad, H. Niazmand, A numerical analysis of an active micromixer with the oscillating stirrer at the different aspect ratios by LBM. *Modares Mechanical Engineering*, 17(9) (2017) 417-426. (in Persian)
- [19] H. Khozeymeh-Nezhad, H. Niazmand, A double MRT-LBM for simulation of mixing in an active micromixer with rotationally oscillating stirrer in high Peclet number flows. *International Journal of Heat and Mass Transfer*, 122 (2018) 913-921.
- [20] J. Ortega-Casanova, Enhancing mixing at a very low Reynolds number by a heaving square cylinder, *J Fluid Struct*, 65(2016)1-20.
- [21] J. Ortega-Casanova, CFD study on mixing enhancement in a channel at a low Reynolds number by pitching a square cylinder. *Comput Fluids*, 145(2017) 141-152.
- [22] R. Shamsoddini, SPH investigation of the thermal effects on the fluid mixing in a microchannel with rotating stirrers, *Fluid Dynamics Research* 50(2018) 025509.